

تأثیر افزایش دی‌اکسیدکربن و دما بر روی عوامل همه‌گیری شناختی در قارچ عامل بیماری لکه‌برگی گندم *Cochliobolus sativus*

علی ویانی^{*} و پاریمال سینها^{*}

۱- گروه گیاه‌پزشکی، دانشکده کشاورزی، دانشگاه تبریز.

۲- گروه بیماری‌های کیاهی، موسسه تحقیقات کشاورزی هند، دهلی نو، هند.

* مسئول مکاتبه viani@tabrizu.ac.ir

تاریخ پذیرش: ۹۴/۷/۱۵

تاریخ دریافت: ۹۴/۵/۴

چکیده

تأثیر مقادیر افزایش یافته‌ی دی‌اکسیدکربن و دما بر بیماری لکه‌برگی گندم ناشی از قارچ *Cochliobolus sativus* در شرایط محیطی کنترل شده بررسی گردید. بوته‌های گندم در دو سطح از غلظت CO_2 (۳۶۰ و ۵۵۰ پی‌پی‌ام) و دو سطح از دما (۲۲ و ۲۵ درجه‌ی سانتیگراد) در اتاقک رشدی، پرورش یافته و در سن سی روزگی با اسپورهای بیمارگر تلقیح شدند. غلظت بالای CO_2 موجب افزایش مساحت برگ، اندازه‌ی لکه‌ها، درصد سطح نکروزه‌ی برگ و کاهش تعداد لکه‌ها در واحد سطح برگ و کاهش دوره‌ی نهفتگی هم برای ظهور لکه‌ها و هم برای اسپورزایی گردید. تاثیر افزایش دما نیز به صورت افزایش تعداد لکه‌ها و سطح نکروزه‌ی برگ‌ها و کاهش دوره‌ی نهفتگی برای ظهور لکه‌ها و اسپورزایی مشاهده شد ولی تاثیر آن روی مساحت برگ و میانگین اندازه‌ی لکه‌ها معنی‌دار نبود. کوتاه‌ترین زمان برای دوره‌ی نهفتگی و بیشترین درصد آلوگی برگ‌ها در تیمار ترکیبی ۵۵۰ پی‌پی‌ام غلظت CO_2 و دمای ۲۵ درجه‌ی سانتی‌گراد ثبت گردید. در اتاقک‌های رشدی با شبی دمایی نیز تاثیر افزایش دما به صورت افزایشی معنی‌دار در شدت بیماری در تمامی ژنتیک‌ها و ارقام مورد بررسی گندم مشاهده شد. بنابراین اثر مستقیم افزایش دما و دی‌اکسیدکربن بر بیمارگر و میزبان، نقشی تعیین کننده در افزایش شدت بیماری لکه‌برگی گندم دارد.

واژه‌های کلیدی: تغییر اقلیم، دمای افزایش یافته، CO_2 افزایش یافته، لکه‌برگی گندم.

یکی از بیماری‌های جدی و مخرب گندم در نواحی گرم و مرطوب جهان به‌ویژه در شبه‌قاره‌ی هند درآمده است (جوشی و همکاران ۲۰۰۷، آچاریا و همکاران ۲۰۱۱). خسارت اقتصادی آن در هند ۳–۲۰ درصد، در بنگلادش ۷۱ درصد، در چین ۲۰–۷۵ درصد، در نپال ۱۶/۲–۲۹ درصد و در فیلیپین ۴ درصد گزارش شده است (سن‌هیل ۲۰۰۴، دویلر و شارما ۲۰۰۹). در ایران نیز این قارچ به عنوان عامل اصلی بیماری پوسیدگی معمولی ریشه و طوقه‌ی گندم از استان‌های آذربایجان غربی، ایلام، خراسان شمالی، زنجان، کرمانشاه، لرستان و مرکزی

مقدمه

قارچ (*Cochliobolus sativus* (Ito & Kurib.) Drechsler ex Dastur) در گیاهان گندم، جو و سایر غلات دانه‌ریز، بیماری‌های مختلفی چون بلاست خوش و گیاهچه، لکه‌برگی، پوسیدگی معمولی ریشه و طوقة و نقطه سیاه دانه ایجاد می‌کند (شمیم و همکاران ۲۰۰۸، ماتوسینسکی و همکاران ۲۰۱۰). بیماری لکه‌برگی ناشی از این قارچ به صورتی گسترده در سرتاسر جهان به‌ویژه در آفریقا، آمریکای لاتین، استرالیا، کانادا و جنوب آسیا شیوع دارد و در سال‌های اخیر، به صورت

که در تحقیقات آنها، مساحت برگ و بیوماس در گیاهان تیمارشده به ترتیب ۲۵ و ۴۴٪ بیشتر از شرایط عادی بود. در بیماری‌های مختلف گیاهی، تغییر اقلیم می‌تواند اثر مثبت و یا منفی در شدت بیماری داشته و یا بدون تاثیر باشد (چاکروبورتی و همکاران ۲۰۰۰). مانینگ و تیدمن (۱۹۹۵) گزارش دادند که افزایش CO_2 باعث بالا رفتن تراکم و اندازه‌ی پوشش گیاهی شده و بر شدت بیماری‌های برگی مانند زنگ‌ها، سفیدک‌های پودری، لکه‌برگی‌ها و بلاست‌ها می‌افزاید. بنابر اظهارات لوپتن و همکاران (۱۹۹۵) افزایش غلظت CO_2 تاثیرات متفاوتی روی شدت بیماری‌های گیاهی داشته است به‌طوری که بررسی روی ده بیمارگر زیوایپرور، نشان داد که در شش مورد از آنها شدت بیماری افزایش و در چهار مورد کاهش یافت همچنین از بین پانزده بیمارگر مردپرور، شدت بیماری در غلظت بالای CO_2 در ۹ بیمارگر افزایش و در چهار بیمارگر کاهش یافته و در دو بیمارگر نیز بدون تغییر باقی ماند. دی‌اکسیدکربن افزایش یافته می‌تواند مقاومت گیاهان C_3 به بیماری‌ها همچنین نرخ رشد بیمارگرها را بعد از آلووه کردن گیاه افزایش دهد که به ترتیب موجب کاهش و افزایش شدت بیماری خواهد شد (هیبرد و همکاران ۱۹۹۶). در جنوب آسیا و به‌ویژه در شبکاره‌ی هند، افزایش میانگین دما در ماههای زمستان گزارش شده است که افزایش شدت بیماری لکه‌برگی گندم و همه‌گیری آن در سالهای اخیر را به‌دلیل داشته است (دوویلر و همکاران ۲۰۰۵، شارما و همکاران ۲۰۰۷). دمای $29^{\circ}C$ و رطوبت نسبی بالاتر از ۹۰ درصد، بهترین شرایط برای توسعه بیماری و همه‌گیری آن گزارش شده است و در ماههای بهمن و اسفند که زمان ظهور بیماری لکه‌برگی در مناطق گندم‌خیز هند به‌شمار می‌رود هرگونه افزایش دما در اثر تغییر اقلیم منجر به افزایش شدت بیماری خواهد شد (ویانی ۲۰۱۴). آچاریا و همکاران (۲۰۱۱) اظهار داشتند که دما به مقدار

گزارش (منصوری و همکاران ۱۳۸۱، سمعی و همکاران ۱۳۸۷، صفائی و همکاران ۱۳۸۷، عمارلو و همکاران ۱۳۸۹) و خسارت ناشی از آن ۱۲/۵-۳ درصد برآورد شده است (منصوری و همکاران ۱۳۸۱). طبق گزارش صادقی گرمارودی (۱۳۷۷) این قارچ در منطقه‌ی میتاب بندرعباس ایجاد لکه‌برگی کرده و اپیدمی آن طی سال‌های ۱۳۷۴-۷۵ خسارت‌های سنگینی را به گندم این منطقه وارد نمود.

بر اساس گزارش مجمع بین المللی تغییرات اقلیمی^۱ (۲۰۱۳) افزایش غیر معمول در میزان CO_2 اتمسفر به‌طور مستقیم و یا غیر مستقیم باعث تغییر جهانی اقلیم خواهد شد؛ به همین دلیل، انتظار می‌رود افزایش میانگین دمای کره‌ی زمین در پایان قرن بیست و یکم حدود ۰/۵ درجه‌ی سانتی‌گراد باشد. تغییرات جهانی اقلیم به‌ویژه افزایش دما و CO_2 (پاکوری و ریسینگر ۲۰۰۷) به نظر می‌رسد که تمام عناصر مثبت بیماری‌زایی یعنی میزبان، بیمارگر، عوامل آب و هوایی و تعامل بین آنها را تحت تاثیر قرار می‌دهد (لگرو و دوویلر ۲۰۱۰) و همه‌گیری بیماری‌ها و توزیع جغرافیایی آنها را دگرگون می‌کند (چاکروبورتی و نیوتون ۲۰۱۱) ولی در مورد اهمیت تغییرات جزئی آب و هوایی در شرایط مزرعه‌ای و تاثیر آن در پاسخ‌های گیاهی، اطلاعات زیادی وجود ندارد. ایستبرن و همکاران (۲۰۱۱) اظهار کردند که مقدار فتوستنتز و به‌دلیل آن رشد گیاه به‌طور مثبت تحت تاثیر افزایش CO_2 قرار می‌گیرد. افزایش مساحت برگ‌ها در غلظت بالای دی‌اکسیدکربن به مقدار ۴۶ درصد در گزارش پانگا و همکاران (۲۰۰۴) مورد اشاره قرار گرفته است. بر اساس گزارش چاکروبورتی و همکاران (۲۰۰۰) افزایش در اندازه‌ی پوشش گیاهی (به‌خصوص در رطوبت بالا) در اثر افزایش CO_2 مشاهده گردید به‌طوری

^۱Intergovernmental Panel on Climate Change (IPCC)

تیمارهای آزمایشی

در این تحقیق، چهار تیمار آزمایشی شامل CO_2 عادی- دمای عادی (۳۶۰ پی پی ام - 22°C)، CO_2 افزایش یافته - دمای عادی (۵۰۰ پی پی ام - 22°C)، CO_2 عادی- دمای افزایش یافته (۳۶۰ پی پی ام - 25°C) و CO_2 افزایش یافته - دمای افزایش یافته (50°C - 25°C) در نظر گرفته شده و هر کدام در سه تکرار مورد بررسی قرار گرفتند. هر تکرار نیز شامل سه گلدان با پنج گیاهچه در هر یک بود.

روش مایه‌زنی

تلقیح بوتهای در سن سی روزگی با استفاده از اتو مایزیر یا آب پاش کوچک دستی به صورت یکنواخت با سوسپانسون اسپورهای بیمارگر (پنج میلی لیتر برای هر گلدان) صورت گرفت. برای تامین رطوبت کافی جهت جوانه‌زنی اسپورها و آلودگی گیاهان، گلدان‌ها بلا فاصله بعد از تلقیح و به مدت ۲۴ ساعت با پوشش پلی اتیلن پوشانده شدند.

بررسی آلودگی برگ‌ها

از هر گلدان آزمایشی سه عدد برگ مایه زنی شده (۲۷ برگ برای هر تیمار) به طور تصادفی انتخاب و علامت‌گذاری شده و تعداد لکه‌ها روی آنها به طور روزانه و تا زمان رسیدن به بیشترین تعداد لکه‌های قابل مشاهده، شمارش شد. برای اندازه‌گیری دقیق مساحت برگ، تعداد لکه‌ها و مساحت آنها، با استفاده از یک دوربین عکاسی، تصاویر دیجیتالی از برگ‌های انتخاب شده در فواصل منظم تهیه و پس از انتقال به رایانه، با استفاده از نرم‌افزار آنالیز تصویر 2.0 Assess (لحدر ۲۰۰۸) مورد بررسی و اندازه‌گیری قرار گرفتند. با شمارش حداقل تعداد لکه‌های هر برگ در پایان دوره‌ی آلودگی و اندازه‌گیری مساحت برگ، تعداد لکه‌ها در واحد سطح

قابل توجهی توسعه‌ی بیماری لکه‌برگی گندم را تحت تاثیر قرار می‌دهد به طوری که با افزایش دما تعداد لکه‌ها بیشتر می‌شود. اثر مستقیم افزایش دما روی نرخ تکثیر و اسپورزایی بیمارگر در محیط آزمایشگاهی و در طبیعت نیز به خوبی شناخته شده است و دمای بالا شدت بیماری لکه‌برگی را افزایش می‌دهد (دلسپینی ۲۰۰۴). هدف از اجرای این تحقیق، برآورد تغییرات همه‌گیری شناختی بیماری لکه‌برگی گندم از جمله تعداد لکه‌های تولید شده در واحد سطح برگ‌ها، اندازه و مساحت لکه‌ها، شدت بیماری و دوره‌ی نهفتگی برای ظهور علائم بیماری و اسپورزایی بیمارگر در شرایط دما و CO_2 افزایش یافته بوده است.

مواد و روش‌ها

تهیه‌ی مایه‌ی تلقیح

زادمایه‌ی این قارچ به صورت سوسپانسیونی با غلظت 3×10^4 اسپور در هر سانتی‌متر مکعب به روش شمیم و همکاران (۲۰۰۸) از کشت خالص این قارچ در محیط کشت آب آغاز تهیه شد.

تهیه‌ی گیاهان گندم در اتاقک‌های رشدی^۱

برای تهیه‌ی گیاهچه‌های یکنواخت، گلدان‌های سفالی به قطر ۱۵ سانتی متر با مخلوطی از ورمیکولايت و پیت (۱:۱) پر شده و در هر کدام از آنها پنج عدد بذر گندم رقم حساس آگرا لوکال کشت گردید. بلا فاصله بعد از جوانه‌زنی بذور، گلدان‌ها به اتاقک‌های رشدی (Conviron, E15, Canada) منتقل شده و در شرایط یکسان از نظر آبیاری (۱۰۰ میلی‌لیتر به ازای هر گلدان و دو بار در هر هفته)، با شدت نور ۱۰-۵ کیلو لوکس، دوره‌ی نوری ۱۲ ساعته و در رطوبت نسبی ۶۰-۷۰ درصد نگهداری شدند.

¹Phytotron

ادامه یافت. از زمان تلقیح گیاهان تا اسپورزایی ۵۰ درصد از تعداد کل لکه‌ها، به عنوان دوره‌ی نهفتگی ۵۰٪ برای اسپورزایی (LP₅₀) تعیین شده و با محاسبه‌ی فراوانی تجمعی و برآورد درصد مربوطه با استفاده از نرم افزار اکسل بدست آمد.

تاثیر دمای افزایش یافته بر شدت بیماری لکه‌برگی
گندم در اتفاقک‌های رشدی با شبیب دمایی ژنوتیپ‌ها و واریته‌های زراعی گندم هندی شامل HD2967، HD2932، HD2285، C306، HD2329، WR544 و PBW550 در اتفاقک‌های Kundan رشدی دارای شبیب دمایی واقع در مرکز علوم زیست‌محیطی و کشاورزی انعطاف‌پذیر در برابر اقلیم^۱ در کشور هند کشت گردید. دما در یکی از اتفاقک‌های رشدی، همان دمای عادی و معمول در طبیعت^۲ در همان فصل رشدی گندم در نظر گرفته شده و اتفاقک‌های رشدی بعدی هر کدام با یکی از دماهای افزایش یافته^۳ یعنی ۱، ۲ و ۳ درجه‌ی سانتی‌گراد بالاتر از دمای عادی و معمول محیط، تنظیم گردید. برای کنترل دقیق‌تر دما از یک دستگاه ثبت اطلاعات هواشناسی (4000 NV pocket weather tracker, Kestrel®, Nielsen-Kellerman Co., USA) استفاده شد. پس از آلدگی طبیعی ارقام گندم به بیماری لکه‌برگی، شدت بیماری در اوخر اسفند ماه سال ۱۳۹۲ با استفاده از مقیاس دو رقمی (ساری و پرسکات ۱۹۷۵) یادداشت گردید. درصد شدت بیماری^۴ نیز با استفاده از فرمول زیر محاسبه گردید که در آن نخستین رقم (D1) بیانگر پیشرفت عمودی بیماری در گیاه (در مقیاس ۰-۹) و دومین رقم (D2) نشانگر شدت بیماری در برگ‌های آلدوده بالایی گیاه (در مقیاس ۰-۹) می‌باشد (شارما و همکاران ۲۰۰۷):

برگ (cm^۲) محاسبه شده و میانگین آن برای کل برگ‌های مورد بررسی در هر تیمار بدست آمد. میانگین مساحت لکه‌های نکروزه نیز با انتخاب ۲۰ عدد لکه به صورت تصادفی از هر برگ آلدوده در پایان دوره‌ی آلدگی و پس از رسیدن اندازه لکه‌ها به بیشترین مقدار ممکن و با استفاده از نرم افزار آنالیز تصویر به دست آمد. درصد آلدگی برگ‌ها (درصد لکه‌های نکروزه) با ضرب کردن میانگین تعداد لکه در هر سانتی‌متر مربع برگ در میانگین مساحت لکه‌های نکروزه محاسبه شد.

اندازه‌گیری دوره‌ی نهفتگی برای ظهور لکه‌ها^۱
دوره‌ی زمانی بین تلقیح تا ظهور ۵۰٪ لکه‌های بیماری به عنوان دوره‌ی نهفتگی ۵۰٪ برای ظهور لکه‌ها (IP₅₀) در نظر گرفته شده و براساس فراوانی تجمعی^۲ لکه‌ها و با استفاده از نرم افزار اکسل محاسبه گردید.

اندازه‌گیری دوره‌ی نهفتگی برای اسپورزایی^۳
بلافاصله بعد از ظهور لکه‌ها در سطح برگ‌ها، از هر گلدان دو برگ (هجده برگ برای هر تیمار) با آلدگی شدید انتخاب شده و به چندین قطعه (هر کدام دارای تعداد کافی لکه) تقسیم شد. برای تامین رطوبت لازم برای اسپورزایی در برگ‌های آلدوده، قطعات برگ در داخل تشکه‌های پتری بزرگ حاوی کاغذ صافی سترون مرتقب قرار گرفته و در داخل اتفاقک‌های رشدی و در همان شرایط محیطی تیمارها نگهداری گردید. به‌طور روزانه، تشکه‌های پتری در زیر میکروسکوپ تشریح (Olympus, CH20i, BIMF, Japan) بررسی شده و تعداد لکه‌هایی که شروع به تولید اسپور کرده بودند شمارش شد. این کار تا زمان تکمیل اسپورزایی در تمام لکه‌ها

^۱Centre of Environmental Science and Climate Resilient Agriculture

^۲Ambient temperatures

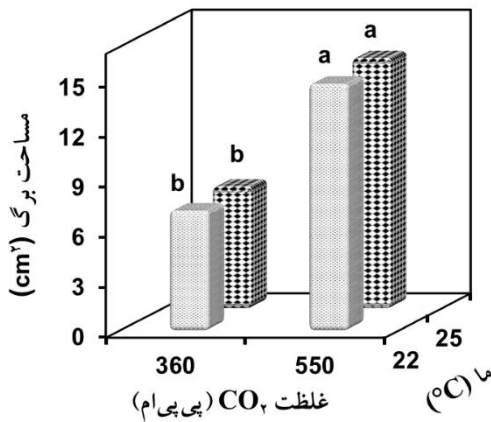
^۳Elevated temperatures

^۴Disease severity percentage

^۱Incubation Period (IP)

^۲Cumulative frequency

^۳Latent Period (LP)



شکل ۱- تاثیر تیمارهای مختلف ترکیبی از CO₂ و دما بر مساحت برگ در بوتهای گندم رقم آگرالوکال مایه‌زنی شده با فارج *Cochliobolus sativus*

تعداد لکه‌ها در واحد سطح برگ

در شرایط دی اکسیدکربن افزایش یافته، تعداد لکه‌ی کمتری نسبت به حالت عادی CO₂ در هر سانتی‌متر مربع از سطح برگ شمارش شد (شکل ۲). در دمای ۲۵ درجه‌ی سانتی‌گراد بدون در نظر گرفتن سطح دی اکسیدکربن، تعداد لکه‌ها به‌طور معنی‌داری نسبت به دمای ۲۲ درجه‌ی سانتی‌گراد افزایش یافت. حداقل تعداد لکه‌ها در تیمار ترکیبی CO₂ عادی- دمای افزایش یافته (۳۶۰ پی‌پی‌ام- ۲۵°C) مشاهده گردید. ظهور لکه‌ها از روز چهارم پس از مایه‌زنی شروع شده و در روز دهم به بیشترین مقدار خود رسید. روند افزایش تعداد لکه‌ها در واحد سطح برگ، در اوایل دوره‌ی آلدگی نسبتاً سریع بوده ولی با گذشت چند روز، شبیه ملایمی یافته و تنها افزایش مختصری مشاهده شد. این روند در هر چهار تیمار آزمایشی، تقریباً یکسان بود (شکل ۴-الف).

$$\text{درصد شدت بیماری} = \left(\frac{D1}{9} \right) \times \left(\frac{D2}{9} \right) \times 100$$

تجزیه و تحلیل آماری داده‌ها

آنالیز واریانس برای میانگین تعداد لکه‌ها در سانتی‌متر مربع، میانگین مساحت لکه‌ها، درصد لکه‌های نکروزه، دوره‌ی نهفتگی برای ظهور لکه‌ها و نیز برای اسپورژابی در قالب طرح آزمایشی کاملاً تصادفی و با استفاده از نرم‌افزار SPSS نسخه ۱۶ انجام شد. مقایسه‌ی میانگین تیمارها با آزمون حداقل اختلاف معنی‌دار (LSD) در سطح احتمال پنج درصد صورت گرفت. در آزمایش مربوط به اتاق‌های رشدی با شبیه دمایی، برای مقایسه‌ی میانگین تیمارها، از آزمون تی^۱ در سطح احتمال پنج درصد استفاده شد.

نتایج

تاثیر دما و دی اکسیدکربن افزایش یافته بر مساحت برگ گندم

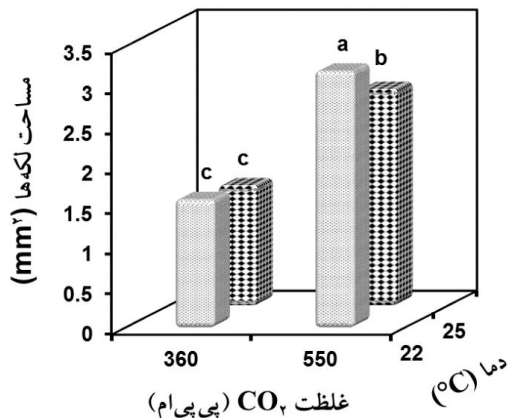
در گیاهانی که به مدت یک ماه در شرایط دی اکسیدکربن افزایش یافته (۳۶۰ پی‌پی‌ام) قرار گرفته بودند بدون در نظر گرفتن سطوح مختلف دمایی، میانگین مساحت برگ افزایش معنی‌داری را نسبت به حالت عادی CO₂ اتمسفری (۳۶۰ پی‌پی‌ام) نشان داد (شکل ۱). در هر دو سطح CO₂، از نظر میانگین مساحت برگ‌ها هیچ اختلاف معنی‌داری بین دو دمای ۲۲ و ۲۵ درجه‌ی سانتی‌گراد مشاهده نگردید.

¹T-test

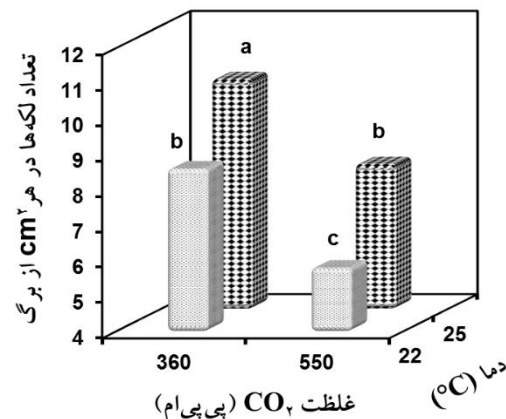
عین حال شیب افزایش مساحت لکه‌ها در تیمارهای با CO_2 افزایش یافته، بیشتر بود (شکل ۴-ب).

شدت آلودگی برگ‌ها

بر اساس نتایج به دست آمده، مساحت بخش نکروزه شده برگ‌ها، هم با افزایش غلظت دی‌اکسیدکربن و هم با افزایش دما به طور معنی‌داری افزایش یافت با این حال، تاثیر افزایش CO_2 مشخص‌تر و بیشتر از تاثیر افزایش دما بود (شکل ۵). بیشترین درصد لکه‌های نکروزه در روز دهم بعد از مایه‌زنی گیاهان در تیمار ترکیبی ۵۰۰ پی‌پی‌ام بود (شکل ۵). افزایش دمای ترکیبی از ۲۰°C به ۲۵°C معمادل حدود ۲۱٪ برآورد گردید. روند افزایش تدریجی درصد آلودگی برگ‌ها در طول دوره‌ی آلودگی در تیمارهای با میزان عادی CO_2 در هر دو دمای ۲۲ و ۲۵ درجه‌ی سانتی‌گراد تقریباً یکسان بوده ولی با گذشت زمان، اختلاف تیمار ترکیبی CO_2 افزایش یافته - دمای افزایش یافته با بقیه تیمارها بیشتر از پیش نمایان شد (شکل ۶).



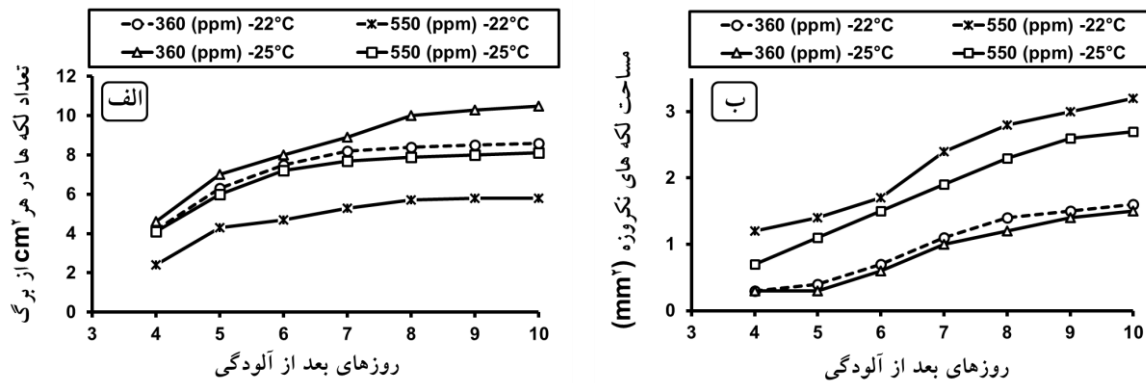
شکل ۳- تاثیر تیمارهای مختلف ترکیبی از CO_2 و دما بر مساحت لکه‌ها در برگ‌های بوته‌های گندم رقم آگرالوکال مایه‌زنی شده با *Cochliobolus sativus* قارچ



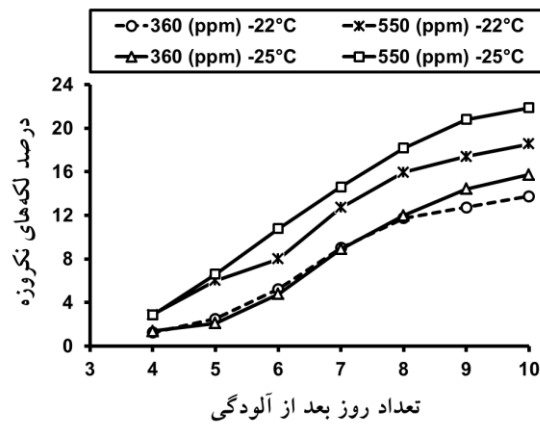
شکل ۲- تاثیر تیمارهای مختلف ترکیبی از CO_2 و دما بر تعداد لکه‌ها در برگ‌های بوته‌های گندم رقم آگرالوکال مایه‌زنی شده با *Cochliobolus sativus* قارچ

مساحت لکه‌ها

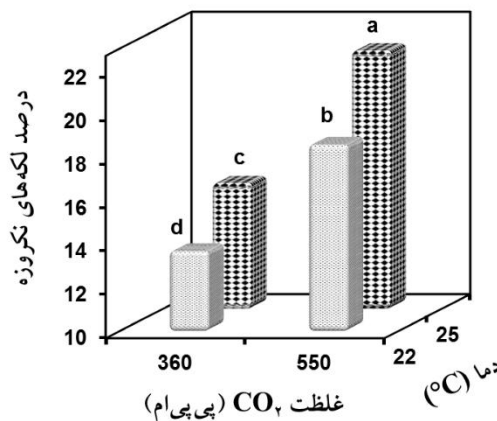
در گیاهان قرار گرفته در معرض CO_2 افزایش یافته، مساحت لکه‌ها در هر سانتی‌متر مربع از برگ، نسبت به گیاهان رشد کرده در شرایط CO_2 عادی، به طور معنی‌داری افزایش یافت ولی بین تیمار ۳۶۰ پی‌پی‌ام - ۲۵°C و تیمار ۳۶۰ پی‌پی‌ام - ۲۲°C هیچ نوع تفاوت معنی‌داری از این نظر وجود نداشت یعنی در شرایط عادی از نظر میزان دی‌اکسیدکربن، افزایش دما تاثیری در تغییر اندازه لکه‌ها نداشت (شکل ۲ و شکل ۴-ب). با افزایش سطح CO_2 از ۳۶۰ پی‌پی‌ام اگرچه افزایش معنی‌داری در مساحت لکه‌ها وجود داشت ولی در دمای ۲۵ درجه‌ی سانتی‌گراد نسبت به دمای ۲۲ درجه‌ی سانتی‌گراد، کاهش مختصری در مساحت لکه‌ها مشاهده شد. بیشترین مقدار مساحت لکه‌ها در هر سانتی‌متر مربع از سطح برگ، در تیمار ۵۰۰ پی‌پی‌ام - ۲۲°C وجود داشت. روند افزایش اندازه لکه‌های بیماری در طول زمان پس از مایه‌زنی گیاهان نشان داد که مساحت لکه‌های نکروزه نیز بعد از گذشت ۱۰ روز از مایه‌زنی آنها، به بیشترین مقدار خود می‌رسد ولی در



شکل ۴- تأثیر تیمارهای مختلف ترکیبی از سطوح عادی و افزایش یافته CO₂ (پی‌پی‌ام) و دما (°C) بر تعداد لکه‌ها در هر سانتی‌متر مربع از سطح برگ (الف) و مساحت (mm²) لکه‌های نکروزه (ب) در روزهای مختلف پس از مایه‌زنی بوته‌های گندم رقم آگرالوکال با قارچ *Cochliobolus sativus*



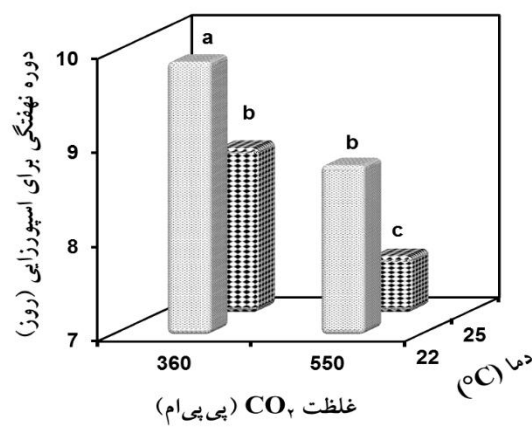
شکل ۶- تأثیر تیمارهای مختلف ترکیبی از سطوح عادی و افزایش یافته CO₂ (پی‌پی‌ام) و دما (°C) بر درصد لکه‌های نکروزه در روزهای مختلف پس از مایه‌زنی بوته‌های گندم رقم آگرالوکال با قارچ *Cochliobolus sativus*



شکل ۵- تأثیر تیمارهای مختلف ترکیبی از CO₂ و دما بر درصد مساحت لکه‌های نکروزه در برگ‌های بوته‌های گندم رقم آگرالوکال مایه‌زنی شده با قارچ *Cochliobolus sativus*

دوره‌ی نهفتگی برای ظهور لکه‌ها

نتایج نشان داد که با افزایش دما، دوره‌ی نهفتگی ۵۰٪ برای ظهور لکه‌ها (IP₅₀) به طور معنی‌داری کاهش می‌یابد. این دوره در دمای ۲۵ درجه نسبت به دمای ۲۲ درجه‌ی سانتی‌گراد، کوتاه‌تر بود. در تیمارهای با دی اکسیدکربن افزایش یافته نیز کاهش معنی‌داری در

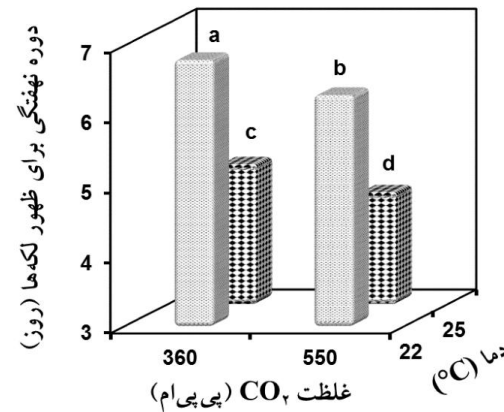


شکل ۸- تاثیر تیمارهای مختلف ترکیبی از سطوح عادی و افزایش یافته CO₂ (پی پی ام) و دما (°C) بر دوره‌ی نهفتگی بیماری لکه‌برگی گندم (برای اسپور زایی در ۵٪ از لکه‌ها) پس از مایه‌زنی بوته‌های گندم رقم آگرالوکال با قارچ *Cochliobolus sativus*

تاثیر دمای افزایش یافته بر شدت بیماری لکه‌برگی گندم در اتاقک‌های رشدی با شیب دمایی

تمامی ژنوتیپ‌ها و واریته‌های زراعی گندم کشت شده در اتاقک‌های رشدی با دمای کنترل شده (دمای عادی و دماهای افزایش یافته) در برابر بیماری لکه‌برگی، حساسیت نشان دادند (جدول ۱). در تمامی اتاقک‌های رشدی با دماهای افزایش یافته، شدت بیماری، افزایش آشکاری را نسبت به اتاقک رشدی با دمای عادی نشان داد. در تجزیه و تحلیل داده‌ها با آزمون تی، تفاوت معنی‌داری بین میانگین شدت بیماری در ارقام گندم مورد بررسی در دمای عادی و دماهای افزایش یافته مشاهده گردید.

دوره‌ی نهفتگی در هر دو سطح دمایی وجود داشت اما تاثیر دمای افزایش یافته در کاهش دوره‌ی نهفتگی بسیار مشخص‌تر و بیشتر از تاثیر افزایش CO₂ بود (شکل ۷). تیمار ترکیبی ۵۰۰ پی پی ام - ۲۵°C، کوتاه‌ترین دوره نهفتگی ۵۰ درصد را نشان داد (حدود ۴/۵ روز).



شکل ۷- تاثیر تیمارهای مختلف ترکیبی از سطوح عادی و افزایش یافته CO₂ (پی پی ام) و دما (°C) بر دوره‌ی نهفتگی (برای ظهور ۵٪ از لکه‌ها) بیماری لکه‌برگی گندم پس از مایه‌زنی بوته‌های گندم رقم آگرالوکال با قارچ *Cochliobolus sativus*

دوره‌ی نهفتگی برای اسپورزایی

با افزایش دما از ۲۲ به ۲۵ درجه‌ی سانتی‌گراد و افزایش CO₂ از ۳۶۰ به ۵۰۰ پی پی ام، دوره‌ی نهفتگی برای شروع اسپورزایی در ۵۰ درصد از لکه‌ها (LP₅₀) به صورت معنی‌داری کاهش یافت (شکل ۸). کوتاه‌ترین زمان برای این دوره، حدود ۷/۵ روز بود که در تیمار ترکیبی ۵۰۰ پی پی ام - ۲۵°C مشاهده شد و طولانی‌ترین مدت این دوره نیز متعلق به تیمار ترکیبی ۳۶۰ پی پی ام - ۲۲°C بود که برابر حدود ۹/۵ روز تعیین شد.

جدول ۱- درصد شدت بیماری لکهبرگی در ژنوتیپ‌ها و واریته‌های زراعی گندم در هند با آلودگی طبیعی در اتفاقک‌های رشد با شبیه دمایی (دمای عادی و معمول در طبیعت در طول فصل رشد و دماهای افزایش یافته) بر اساس مقایسه دو رقمی شارما و همکاران.

ژنوتیپ یا رقم گندم	دما عادی (°C)	شدت بیماری لکهبرگی (%)			
		دما عادی	+۱ دما عادی	+۲ دما عادی	+۳ دما عادی
C306	۵	۱۱	۱۱	۱۵	
HD2285	۱۱	۲۰	۲۰	۲۴	
HD2329	۱۱	۱۵	۱۵	۲۰	
HD2932	۷	۱۱	۱۵	۱۵	
HD2967	۱۱	۱۵	۱۵	۲۰	
Kundan	۱۵	۲۰	۲۰	۲۴	
PBW343	۱۵	۲۰	۲۴	۳۰	
PBW550	۱۵	۲۰	۲۴	۲۴	
WR544	۱۵	۱۵	۲۰	۲۰	
میانگین	۱۱/۲	۱۶/۳*	۱۸/۲*	۲۱/۳*	
P (T≤t) دوطرفه $\alpha = 0/5$		$1/25 \times 10^{-5}$	$1/35 \times 10^{-5}$	$1/1 \times 10^{-6}$	

علامت* نشان دهنده وجود اختلاف معنی‌دار در سطح احتمال ۵٪ می‌باشد.

در این تحقیق، در حالت افزایش غلظت دی‌اکسیدکربن نسبت به غلظت معمولی آن، تعداد کمتری از لکه‌ها در واحد سطح برگ شمارش شد که نشانگر کاهش رخنه و نفوذ قارچ عامل لکه‌برگی گندم می‌باشد. گزارش‌های موجود نشان می‌دهد که سطح مومدار برگ و کوتیکول ضخیم که ناشی از رشد گیاه در غلظت بالای دی‌اکسیدکربن است (مورالی‌کریشنا و همکاران ۲۰۱۳) کارآیی بیمارگر را در نفوذ به میزبان کاهش می‌دهد (آچاریا و همکاران ۲۰۱۱). کاهش و یا تاخیر در تندش اسپورها و تولید اپرسوریوم و درنتیجه، کاهش نفوذ بیمارگر به درون میزبان در غلظت بالای CO₂ گزارش شده است (لوپتن و همکاران ۱۹۹۵، هیبرد و همکاران ۱۹۹۶). در بررسی اثر CO₂ بالا بر قارچ *Colletotrichum gloeosporioides* (Penz.) Penz. and Sacc. که مولد بیماری آنتراکنوز در گیاه مرتضی

بحث

تغییر جهانی اقلیم به‌ویژه بالا رفتن CO₂ و دمای هوا، میزبان‌های گیاهی، بیمارگرها، تعامل بین آنها و در نتیجه، ظهور بیماری‌ها را تحت تاثیر قرار خواهد داد. تغییرات اقلیمی به‌دلیل افزایش دی‌اکسیدکربن، میزان فتوسنتز و رشد گیاهان را افزایش داده و خصوصیات ریخت‌شناسخی آنها را تغییر می‌دهد (ایستبرن و همکاران ۲۰۱۱، چاکروبورتی و نیوتون ۲۰۱۱). در این تحقیق نیز افزایش معنی‌داری در رشد بوته‌های گندم (افزایش مساحت برگ‌ها) با قرار دادن آنها در معرض غلظت بالای CO₂ مشاهده گردید که با گزارشات موجود هم‌خوانی دارد.

این تحقیق، در غلظت بالای CO_2 شدت بیماری و درصد لکه‌های نکروزه روی برگ‌ها، افزایش معنی‌داری نسبت به غلظت عادی CO_2 نشان داد که به دلیل افزایش کاملاً مشخص در اندازه‌ی لکه‌ها (در اثر رشد سریع‌تر بیمارگر در داخل گیاه) و نیز به دلیل رشد زیادتر میزبان و افزایش مساحت برگ‌ها و ایجاد میکروکلیمای مساعد برای توسعه‌ی بیمارگر بوده است. این نتیجه با اغلب گزارشات موجود مطابقت دارد. چاکروبورتی و نیوتون (۲۰۱۱) اظهار داشته‌اند که تغییرات اقلیمی به دلیل افزایش سطح دی‌اکسیدکربن، خصوصیات ریخت‌شناختی گیاهان را تغییر داده و میکروکلیمای گیاه را برای آلودگی آنها با بیمارگرها مساعد می‌سازد در نتیجه، شدت بیماری‌ها افزایش خواهد یافت. مانینگ و تیدمن (۱۹۹۵) بالا رفتن تراکم و اندازه‌ی پوشش گیاهی در اثر افزایش دی‌اکسیدکربن را عامل افزایش شدت بیماری‌های برگی مانند زنگ‌ها، سفیدک‌های پودری، لکه‌برگی‌ها و بلاست‌ها ذکر کردند. گیاهان برنج رشد کرده در غلظت بالای CO_2 نیز در مقایسه با غلظت عادی آن، در برابر بیماری بلاست برگ بسیار حساس‌تر بودند همچنین بلاست غلاف برنج نیز در این شرایط از درصد و قوع بالاتری برخوردار بود (کوبایاشی و همکاران ۲۰۰۶). گیاه *Arabidopsis thaliana* (L.) Heynh. دی‌اکسیدکربن، نسبت به سفیدک پودری خیلی حساس‌تر بود و این واکنش، به افزایش تراکم روزنه‌های هوایی و بزرگ شدن اندازه سلول‌های نگهبان روزنه نسبت داده شد (لیک و وید ۲۰۰۹). برخی گزارش‌های موجود، بیانگر کاهش شدت بیماری در غلظت افزایش یافته CO_2 هستند. بر اساس گزارش چاکروبورتی و همکاران (۲۰۰۰) شدت آنتراکنوز در گیاه علوفه‌ای *scabra* D. در غلظت بالای دی‌اکسیدکربن، کاهش یافت. ایستبرن و همکاران (۲۰۱۱) نیز اعلام کردند که دی‌اکسیدکربن زیاد، شدت

Stylosanthes scabra Vogel از تیره‌ی لگومینوز در استرالیا می‌باشد کاهش تندش کنیدیوم‌ها و رشد لوله تندشی و تولید اپرسوریوم، از علل کاهش تعداد لکه‌ها در واحد سطح برگ عنوان گردید (چاکروبورتی و همکاران ۲۰۰۰، پانگا و همکاران ۲۰۰۴). با توجه به اینکه طبق گزارشات موجود، افزایش غلظت دی‌اکسیدکربن اتمسفری، استقرار اولیه‌ی بیمارگر را در گیاه میزبان تحت تاثیر قرار می‌دهد (ماتروس و همکاران ۲۰۰۶) لذا به نظر می‌رسد در بیماری لکه‌برگی گندم نیز موجب اختلالاتی در رخنه و استقرار اولیه‌ی بیمارگر شده و به تبع آن، تعداد لکه‌ها در واحد سطح برگ کاهش پیدا می‌کند.

در این تحقیق، مساحت لکه‌ها در گیاهان رشد کرده در غلظت بیشتر CO_2 در مقایسه با مقدار عادی آن، به طور معنی‌داری افزایش نشان داد. همین امر باعث افزایش شدت بیماری و بالا رفتن درصد سطح نکروزه برگ‌ها گردید. گزارش شده که باروری و رشد برخی بیمارگرها قارچی نیز در چنین شرایطی افزایش می‌یابد (چاکروبورتی و همکاران ۲۰۰۰). به نظر می‌رسد که متاثر از این شرایط، قارچ عامل لکه‌برگی گندم بعد از نفوذ در بافت برگ، رشد سریع‌تر و بیشتری کرده و لکه‌های درشت‌تری را به وجود می‌آورد. این امر، در گزارشات سایر محققین نیز مورد تاکید قرار گرفته است. بر اساس گزارش هیبرد و همکاران (۱۹۹۶) پرگنهای سفیدک پودری جو در غلظت ۷۰۰ پی‌پی ام از CO_2 نسبت به غلظت ۳۵۰ پی‌پی ام، رشد سریع‌تری روی برگ‌های جو نشان دادند. قارچ *C. gloeosporioides* نیز در شرایط بالا بودن غلظت دی‌اکسیدکربن محیط، علیرغم تاخیر اولیه در نفوذ به درون میزبان، رشد سریع‌تری در داخل بافت‌های گیاهی نشان داده است (لوپتن و همکاران ۱۹۹۵) چاکروبورتی و همکاران (۲۰۰۰). طبق نتایج حاصل در

از دمای عادی) و در کلیه ژنوتیپ‌ها و ارقام گندم مورد آزمایش، به طور معنی‌داری بیشتر از دمای عادی بود بنابراین، اثر مستقیم افزایش دما روی بیمارگر، می‌تواند گسترش بیماری لکه برگی گندم را در شرایط تغییر اقلیم توجیه و توصیف کند.

در این تحقیق، با افزایش غلظت دی اکسیدکربن و به‌ویژه دما، طول دوره‌ی نهفتگی برای ظهور لکه‌ها و دوره‌ی نهفتگی برای اسپورزایی کاهش یافت. این نتیجه با برخی از گزارش‌ها مطابقت داشته و در مواردی نیز مخالف با یافته‌های دیگران بود. به نظر می‌رسد این کاهش به‌علت رشد سریع‌تر قارچ عامل بیماری بعد از نفوذ در بافت برگ و در نتیجه، کوتاه شدن دوره‌ی آلدگی و رشد و گسترش و تکثیر بیمارگر می‌باشد. بر اساس گزارش هیبرد و همکاران (۱۹۹۶) پرگنهای سفیدک پودری جو در غلظت ۷۰۰ پی‌پی‌ام از دی اکسیدکربن نسبت به غلظت ۳۵۰ پی‌پی‌ام، رشد سریع‌تری روی برگ‌های جو نشان دادند و علائم بیماری زودتر ظاهر گردید. چاکروبورتی و همکاران (۲۰۰۰) اظهار داشته‌اند که در هر دوی موجودات زیوپرور و مرده‌پرور، تغییرات معنی‌داری در شروع چرخه‌ی زندگی و طول مدت مراحل آن در شرایط CO_2 افزایش یافته و وجود دارد و دوره‌ی نهفتگی برای اسپورزایی در این حالت افزایش می‌یابد. بر اساس گزارش لوپتن و همکاران (۱۹۹۵) نیز در غلظت بیشتر CO_2 ، زمان بین تلچیح تا اسپورزایی در قارچ *Colletotrichum gloeosporioides* افزایش یافت که به‌دلیل تاخیر یا کاهش در جوانه‌زنی اسپورها و کاهش در استقرار اولیه‌ی قارچ عامل بیماری بود. در دمای بالا نه تنها شدت بیماری افزایش می‌یابد بلکه سرعت رشد بیمارگر نیز افزایش یافته و در نتیجه، ظهور علائم بیماری و شروع اسپورزایی بیمارگر نیز تسریع می‌یابد. این موضوع در برخی گزارش‌ها نیز مورد

بیماری‌های سفیدک کرکی سویا، بلایت دیررس سیب زمینی و لکه‌برگی افرا را کاهش داده و شدت سفیدک پودری آرابیدوپسیس، لکه قهوه‌ای سویا، بلاست برنج، بلایت غلاف برنج و لکه‌برگی سرکوسپورایی ارغوان را افزایش می‌دهد اما شدت زنگ برگی صنوبر لرزان و لکه‌برگی توس نقره‌ای بدون تغییر باقی می‌ماند.

بر اساس نتایج این تحقیق، افزایش دما نیز نقش موثری در افزایش معنی‌دار تعداد لکه‌ها در روی برگ‌های گندم و درصد آلدگی آنها داشت. نتیجه‌ی حاصله با گزارش‌های ارائه شده در مورد نقش افزایش دما در بالا رفتن شدت بیماری‌ها مطابقت کامل دارد. اونس و همکاران (۲۰۰۸) در انگلیس با استفاده از مدلی بر اساس عوامل آب و هوایی، پیش‌بینی کردند که در اثر افزایش دما، شدت بیماری شانکر ساقه‌ی گیاه خردل روغنی ناشی از قارچ *Phoma sp.* افزایش می‌یابد. آچاریا و همکاران (۲۰۱۱) اظهار داشتند که دما به مقدار قابل توجهی توسعه‌ی بیماری لکه‌برگی گندم را تحت تاثیر قرار می‌دهد به‌طوری که با افزایش دما، تعداد لکه‌ها بیشتر می‌شود. دل‌سپینی (۲۰۰۴) اثر مستقیم و مثبت افزایش دما روی نرخ تکثیر و اسپورزایی بیمارگر عامل لکه‌برگی گندم را در محیط آزمایشگاهی و در طبیعت گزارش کرده و اعلام نمود که دمای بالا شدت بیماری لکه‌برگی را افزایش می‌دهد. ویانی (۲۰۱۴) در مدل‌سازی برای پیش‌بینی پراکنش بیماری لکه‌برگی در کل مناطق گندم‌خیز هند، نشان داد که ۱/۵ درجه‌ی سانتی‌گراد افزایش در دمای محیط، موجب توسعه‌ی بیماری و افزایش شدت آن خواهد شد و این افزایش، در شمال غرب هند بیشتر از مناطق شمال شرقی و در ماه فوریه بیشتر از ماه مارس خواهد بود. در تحقیق حاضر نیز در شرایط شبیه دمایی، درصد شدت بیماری لکه‌برگی در دماهای افزایش یافته (۱، ۲ و ۳ درجه سانتی‌گراد بیشتر

(گینی و همکاران ۲۰۱۱). به عنوان نتیجه‌گیری کلی می‌توان گفت که شناخت تغییرات حاصله در بیماری در اثر تغییرات اقلیمی می‌تواند در پیش‌بینی وقوع بیماری و ارزیابی آسیب‌پذیری گیاهان یک منطقه در مقابل آنها نقش بهسزایی ایفا کرده و روش‌های سازگاری در برابر آنها را مشخص نماید.

تصریح قرار گرفته است مثلاً در زنگ یونجه با افزایش دما، دوره‌ی نهفتگی کاهش می‌یابد (وب و نوتر ۱۹۹۷) همچنین در زنگ زرد گندم، افزایش دما باعث کوتاه شدن دوره‌ی نهفتگی برای اسپورزایی می‌شود (میلوس و همکاران ۲۰۰۹). در برزیل، مدل‌های شبیه سازی بیماری زنگ قهوه و نقشه‌های حاصل، کاهش مشخصی را در دوره‌ی نهفتگی برای ظهور علائم بیماری نشان دادند

منابع

سمیعی ف، جوان نیکخواه م، زمانی‌زاده ح و رفیعی کره‌رودی ن، ۱۳۸۷. واکنش تعدادی از ارقام گندم به قارچ عامل پوسیدگی معمولی ریشه، مجله‌ی حفاظت گیاهان (علوم و صنایع کشاورزی) جلد ۲۲، شماره‌ی ۲. صفحه‌های ۲۱۱ تا ۲۱۹.

صادقی گرمارودی ح، ۱۳۷۷. ارزیابی مقاومت ارقام گندم به لکه‌برگی قارچ *Bipolaris sorokiniana*. پایان‌نامه‌ی کارشناسی ارشد بیماری شناسی گیاهی، دانشکده‌ی کشاورزی دانشگاه تربیت مدرس.

صفایی د، اخوت م، حجارود ق و یونسی ح، ۱۳۸۷. شناسایی، مقایسه‌ی بیماری‌زایی و تعیین پراکنش شبکونه‌های عامل پوسیدگی ریشه و طوقه‌ی گندم در استان کرمانشاه، علوم و فنون کشاورزی و منابع طبیعی شماره‌ی ۴۳، صفحه‌های ۲۰۷ تا ۲۱۴.

عمارلو ا، روحانی ح و مهدیخانی مقدم ع، ۱۳۸۹. شناسایی و بررسی بیماری‌زائی قارچ‌های عامل پوسیدگی ریشه و طوقه‌ی گندم در استان خراسان شمالی. نشریه‌ی حفاظت گیاهان (علوم و صنایع کشاورزی) جلد ۲۴، شماره‌ی ۳. صفحه‌های ۲۶۹ تا ۲۸۴.

منصوری ب، روانلو ع، نورالله‌ی خ، آزادبخت ن، جعفری ح و قلندر م، ۱۳۸۱. بیماری پوسیدگی معمولی ریشه و طوقه‌ی گندم در استان‌های آذربایجان غربی، ایلام، لرستان، زنجان و مرکزی. جلد ۲-صفحه‌ی ۱۴ خلاصه مقالات پانزدهمین کنگره‌ی گیاه‌پزشکی ایران، دانشگاه رازی، کرمانشاه.

Acharya K, Dutta AK and Pradhan P, 2011. *Bipolaris sorokiniana* (Sacc.) Shoem.: The most destructive wheat fungal pathogen in the warmer areas. Australian Journal of Crop Science 5(9):1064-1071.

Chakraborty S and Newton AC, 2011. Climate change, plant diseases and food security: an overview. Plant Pathology 60: 2-14.

Chakraborty S, Tiedemann AV, Teng PS, and Chakraborty S. 2000. Climate change: Potential impact on plant diseases. Environmental Pollution 108:317-326.

de Lespinay A, 2004. Selection for stable resistance to *Helminthosporium* leaf blights in non-traditional warm wheat areas. M.S. Thesis. Universite' Catholique de Louvain, Louvain-La-Neuve, Belgium.

- Duveiller E, Kandel YR, Sharma RC and Shrestha SM, 2005. Epidemiology of foliar blights (spot blotch and tan spot) of wheat in the plains bordering the Himalayas. *Phytopathology* 95:248-256.
- Duveiller EM and Sharma RC, 2009. Genetic improvement and crop management strategies to minimise yield losses in warm non-traditional wheat growing areas due to spot blotch pathogen *Cochliobolus sativus*. *Journal of Phytopathology* 157: 521-534.
- Eastburn DM, DeGennaro MM, DeLucia EH, Dermody O and McElrone AJ, 2011. Elevated atmospheric carbon dioxide and ozone alter soybean diseases at SoyFACE . *Global Change Biology* 16: 320-330.
- Evans N, Baierl A, Semenov MA, Gladders P and Fitt BDL, 2008. Range and severity of a plant disease increased by global warming. *Journal of the Royal Society Interface* 5: 525–531.
- Ghini R, Hamada E, Pedro Júnior MJ and Gonçalves RRV, 2011. Incubation period of *Hemileia vastatrix* in coffee plants in Brazil simulated under climate change. *Summa Phytopathologica* 37: 85-93.
- Hibberd JM, Whitbread R and Farrar JF, 1996. Effect of elevated concentrations of CO₂ on infection of barley by *Erysiphe graminis*. *Physiological and Molecular Plant Pathology* 48:37-53.
- IPCC, 2013. Climate Change 2013: The Physical Sciences Basis, 5th Assessment Report (AR5) Working Group I Contribution to the IPCC-Changes to the underlying Scientific Technical Assessment.
- Joshi AK, Kumari M, Singh VP, Reddy CM, Kumar S, Rane J and Chand R, 2007. Stay green trait: variation inheritance and its association with spot blotch resistance in spring wheat (*Triticum aestivum* L.). *Euphytica* 153:59-71.
- Kobayashi T, Ishiguro K, Nakajima T, Kim HY, Okada M, and Kobayashi K, 2006. Effects of elevated atmospheric CO₂ concentration on the infection of rice blast and sheath blight. *Phytopathology* 96:425-431.
- Lake JA and Wade RN, 2009. Plant-pathogen interactions and elevated CO₂: morphological changes in favour of pathogens. *Journal of Experimental Botany* 60(11):3123-3131.
- Lakhdar L, 2008. Assess 2.0. Image Analysis Software for Plant Disease Quantification. APS Press. St. Paul. MN. USA.
- Legreve A and Duveiller E, 2010. Preventing potential diseases and pest epidemics under a changing climate. Pp.50-70 In: Reynolds MP(ed.) Climate Change and Crop Production. CABI Publishing, Wallingford, UK.
- Lupton J, Chakraborty S, Dale M and Sutherst R, 1995. Assessment of the enhanced greenhouse effect on plant diseases - a case study of *Stylosanthes* anthracnose. Proceedings of the 10th Biennial Australian Plant Pathology Conference, 28-30 August, Lincoln Universaity, New Zealand.
- Manning WJ, and Tiedermann AV, 1995. Climate change: potential effects of increased atmospheric carbon dioxide (CO₂), ozone (O₃), and ultraviolet-b (UV_B) radiation on plant diseases. *Environmental Pollution* 88:219-245.
- Matros A, Amme S, Kettig B, Buck-Sorlin GH, Sonnewald U and Mock HP, 2006. Growth at elevated CO₂ concentrations leads to modified profiles of secondary metabolites in tobacco cv. Samsun NN and to increased resistance against infection with Potato virus Y. *Plant Cell and Environment* 29:126-137.

- Matusinsky P, Frei P, Mikolasova R, Svacinova I, Tvaruzek L and Spitzer T, 2010. Species-specific detection of *Bipolaris sorokiniana* from wheat and barley tissues. *Crop Protection* 29:1325-1330.
- Milus EA, Kristensen K and Hovmoller MS, 2009. Evidence for increased aggressiveness in a recent widespread strain of *Puccinia striiformis* f.sp. *tritici* causing stripe rust of wheat. *Phytopathology* 99: 89–94.
- Muralikrishna KS, Kumar SN and John Sunoj VS, 2013. Elevated CO₂ and temperature affect leaf anatomical characteristics in coconut (*Cocos nucifera* L.) Pp.141-153 In: Sundaresan J, Sreekesh S, Ramanathan A, Sonnenschien L and Boojh R (eds.) Climate Change and Island and Coastal Vulnerability. Springer, Netherlands.
- Pachauri RK and Reisinger A, 2007. Climate Change 2007: Synthesis Report. Contribution of Working Groups I, II and III to the Fourth Assessment Report of the Intergovernmental Panel on Climate Change. Geneva, Switzerland: IPCC.
- Pangga IB, Chakraborty S and Yates D, 2004. Canopy size and induced resistance in *Stylosanthes scabra* determine anthracnose severity at high CO₂. *Phytopathology* 94: 221-227.
- Saari EE and Prescott JM, 1975. Scale for appraising the foliar intensity of wheat disease. *Plant Disease Reporter* 59: 377-380.
- Senthil PC, 2004. Epidemiological studies on spot blotch of wheat caused by *Bipolaris sorokiniana*, Ph.D Thesis, IARI, New Delhi, India.
- Shamim I, Shahzad A, Anjum M and Iftikhar A, 2008. Selection of in vitro technique for pathogenicity and screening of wheat cultivars against *Bipolaris sorokiniana*. *Pakistan Journal of Botany* 40: 415-420.
- Sharma RC, Duveiller E and Jacquemin JM, 2007. Microsatellite markers associated with spot blotch resistance in spring wheat. *Journal of Phytopathology* 155: 316-319.
- Viani A, 2014. Forecasting potential distribution of spot blotch in wheat under climate change scenario in Indo-Gangetic plains. PhD thesis, Plant pathology, Indian Agricultural Research Institute, New Delhi, India.
- Webb DH and Nutter FW Jr, 1997. Effects of leaf wetness duration and temperature on infection efficiency, latent period, and rate of pustule appearance of rust in alfalfa. *Phytopathology* 87:946-950.

Impact of Elevated CO₂ and Temperature on Some Epidemiological Factors in *Cochliobolus sativus*, the Causal Agent of Spot Blotch in Wheat

Ali Viani^{1*}and Parimal Sinha²

¹Department of Plant Protection, Faculty of Agriculture, University of Tabriz, Tabriz, Iran.

²Division of Plant Pathology, Indian Agricultural Research Institute, New Delhi, 110012, India.

*Corresponding author: viani@tabrizu.ac.ir

Received: 26 Jul 2015

Accepted: 7 Oct 2015

Abstract

The effects of elevated temperature and CO₂ concentration on spot blotch disease of wheat (caused by *Cochliobolus sativus*) were studied in controlled conditions. Wheat plants were grown in phytotron chambers in two levels of temperatures (22 and 25°C) and CO₂ concentrations (360 and 550 ppm) and artificially inoculated with spores of pathogen at 30 days old. Influence of elevated CO₂ was noted in terms of increased leaf area, spot size, percentage of leaf necrotic area and decrease in spot numbers cm⁻² of leaf, incubation period and latent period. Temperature rise increased spot number and necrotic area of leaves and decreased incubation and latent period but did not affect mean size of spots as well as leaf area. By increasing both CO₂ and temperature levels, significant decrease in incubation and latent period and increase in percentage of leaf infection was noted. The maximum percentage of infection and the shortest duration of incubation and latent period were observed in 550 ppm CO₂ and 25°C. The effect of temperature rise under temperature gradient chambers was also observed as significant increase in disease severity in all wheat genotypes and varieties studied. Therefore, CO₂ and temperature rise likely to contribute definitive increase in spot blotch severity in wheat.

Key words: Climate change, Elevated CO₂, Elevated temperature, Spot blotch, Wheat.